

# 介孔 TiO<sub>2</sub> 晶须负载 Au 的热稳定性

马璇璇<sup>1</sup>, 朱银华<sup>2</sup>, 李力成<sup>1</sup>, 王昌松<sup>1</sup>, 陆小华<sup>1</sup>, 杨祝红<sup>1,\*</sup>

<sup>1</sup>南京工业大学材料化学工程国家重点实验室, 江苏南京 210009; <sup>2</sup>江苏华兰药用新材料股份有限公司技术研究中心, 江苏无锡 214443

MA Xuanxuan<sup>1</sup>, ZHU Yin-hua<sup>2</sup>, LI Licheng<sup>1</sup>, WANG Changsong<sup>1</sup>, LU Xiaohua<sup>1</sup>, YANG Zhuhong<sup>1,\*</sup>

<sup>1</sup>State Key Laboratory of Materials-oriented Chemical Engineering, Nanjing University of Technology, Nanjing 210009, Jiangsu, China; <sup>2</sup>Technology Research Institute, Jiangsu Hualan New Pharmaceutical Material Co. Ltd., Wuxi 214443, Jiangsu, China

- 摘要
- 参考文献
- 相关文章

Download: PDF (548KB) HTML (1KB) Export: BibTeX or EndNote (RIS) Supporting Info

**摘要** 以二钛酸钾晶须为前驱体, 通过固相烧结工艺制备了介孔 TiO<sub>2</sub> 晶须, 然后使用沉积沉淀法将 Au 纳米颗粒负载于其上, 并采用低温 N<sub>2</sub> 吸附-脱附、X 射线衍射及透射电镜等技术对催化剂的形貌和结构进行了表征, 以 NaBH<sub>4</sub> 还原对硝基苯酚 (PNP) 为探针反应, 评价了催化剂的活性及稳定性。结果表明, 500 °C 热处理前后, 介孔 TiO<sub>2</sub> 负载的 Au 纳米颗粒的平均粒径变化不大, 且催化 PNP 还原活性得到了很好的保持。这主要与介孔 TiO<sub>2</sub> 晶须独特的双晶构型及介孔结构有关。

**关键词:** 纳米金 热稳定性 介孔氧化钛 双晶 对硝基苯酚 还原

**Abstract:** By deposition-precipitation with urea method, gold was loaded on mesoporous TiO<sub>2</sub> whisker, which was prepared from a potassium titanate whisker precursor through solid phase sintering process. The morphology and structure of these as-prepared catalysts were characterized by N<sub>2</sub> adsorption-desorption, X-ray diffraction, and transmission electron microscopy. The reduction of 4-nitrophenol to 4-aminophenol by NaBH<sub>4</sub> was evaluated as a probe reaction. After calcination at high temperature, the activity of the catalysts supported on mesoporous TiO<sub>2</sub> nanofiber was well maintained, and the particle size of gold nanoparticles was hardly changed. This might be attributed to the peculiar crystallographic structure and mesoporous nanoarchitecture of the mesoporous TiO<sub>2</sub> whisker.

**Keywords:** nanogold, thermal stability, mesoporous titania, bicrystal, p-nitrophenol, reduction

收稿日期: 2012-03-30; 出版日期: 2012-07-17

引用本文:

马璇璇, 朱银华, 李力成等. 介孔 TiO<sub>2</sub> 晶须负载 Au 的热稳定性[J] 催化学报, 2012, V33(9): 1480-1485

MA Xuan-Xuan, ZHU Yin-Hua, LI Li-Cheng etc. Thermal Stability of Gold Catalyst Supported on Mesoporous Titania Nanofibers[J] Chinese Journal of Catalysis, 2012, V33(9): 1480-1485

链接本文:

http://www.chxb.cn/CN/10.1016/S1872-2067(11)60415-4 或 http://www.chxb.cn/CN/Y2012/V33/I9/1480


## Service

- ▶ 把本文推荐给朋友
- ▶ 加入我的书架
- ▶ 加入引用管理器
- ▶ Email Alert
- ▶ RSS

## 作者相关文章

- ▶ 马璇璇
- ▶ 朱银华
- ▶ 李力成
- ▶ 王昌松
- ▶ 陆小华
- ▶ 杨祝红

- [1] Haruta M, Kobayashi T, Sano H, Yamada N. Chem Lett, 1987, 2: 405
- [2] Sinha A K, Seelan S, Tsubota S, Haruta M. Angew Chem, Int Ed, 2004, 43: 1546 
- [3] Prati L, Rossi M. J Catal, 1998, 176: 552 
- [4] 叶青, 霍飞飞, 闫立娜, 王娟, 程水源, 康天放. 物理化学学报 (Ye Q, Huo F F, Yan L N, Wang J, Cheng Sh Y, Kang T F. Acta Phys-Chim Sin), 2011, 27: 2872
- [5] Perez-Cabero M, El Haskouri J, Solsona B, Vazquez I, Dejoz A, Garcia T, Alvarez-Rodriguez J, Beltran A, Beltran D, Amoros P. J Mater Chem, 2010, 20: 6780 
- [6] Brown M A, Carrasco E, Sterrer M, Freund H J. J Am Chem Soc, 2010, 132: 4064 
- [7] Wang D H, Ma Z, Dai S, Liu J, Nie Z M, Engelhard M H, Huo Q S, Wang C M, Kou R. J Phys Chem C, 2008, 112: 13499 
- [8] 张燕杰, 詹瑛瑛, 曹彦宁, 陈崇启, 林性怡, 郑起. 催化学报 (Zhang Y J, Zhan Y Y, Cao Y N, Chen Ch Q, Lin X Y, Zheng Q. Chin J Catal), 2012, 33: 230 
- [9] Zhu Y H, Li W, Zhou Y X, Lu X H, Feng X, Yang Z H. Catal Lett, 2009, 127: 406 
- [10] Ma Z, Brown S, Howe J Y, Overbury S H, Dai S. J Phys Chem C, 2008, 112: 9448

- [11] Ma Z, Overbury S H, Dai S. J Mol Catal A, 2007, 273: 186 
- [12] 苏继新, 张慎平, 马丽媛, 屈文, 张明博. 催化学报 (Su J X, Zhang Sh P, Ma L Y, Qu W, Zhang M B. Chin J Catal), 2010, 31: 839
- [13] Tauster S J, Fung S C, Garten R L. J Am Chem Soc, 1978, 100: 170 
- [14] He M, Lu X H, Feng X, Yu L, Yang Z H. Chem Commun, 2004: 2202 
- [15] Li W, Liu C, Zhou Y X, Bai Y, Feng X, Yang Z H, Lu L H, Lu X H, Chan K Y. J Phys Chem C, 2008, 112: 20539 
- [16] Li W, Bai Y, Liu C, Yang Z H, Feng X, Lu X H, van der Laak N K, Chan K Y. Environ Sci Technol, 2009, 43: 5423 
- [17] Bai Y, Li W, Liu C, Yang Z H, Feng X, Lu X H, Chan K Y. J Mater Chem, 2009, 19: 7055 
- [18] 朱银华, 陈闪山, 陆小华, 杨祝红, 冯新, 汪怀远. 催化学报 (Zhu Y H, Chen Sh Sh, Lu X H, Yang Zh H, Feng X, Wang H Y. Chin J Catal), 2009, 30: 421 
- [19] Zanella R, Giorgio S, Henry C R, Louis C. J Phys Chem B, 2002, 106: 7634 
- [20] Zanella R, Giorgio S, Shin C H, Henry C R, Louis C. J Catal, 2004, 222: 357 
- [21] Comotti M, Li W C, Spliethoff B, Schuth F. J Am Chem Soc, 2006, 128: 917 
- [22] Dobrosz-Gomez I, Kocemba I, Rynkowski J M. Appl Catal B, 2008, 83: 240 
- [23] Matthey D, Wang J G, Wendt S, Matthiesen J, Schaub R, Laegsgaard E, Hammer B, Besenbacher F. Science, 2007, 315: 1692 
- [24] Armstrong A R, Armstrong G, Canales J, Bruce P G. Angew Chem, Int Ed, 2004, 43: 2286 
- [25] Lee J, Park J C, Song H. Adv Mater, 2008, 20: 1523 
- [1] 司维峰, 李焕巧, 尹杰, 李书双, 谢妍, 李佳, 吕洋, 刘元, 邢永恒, 徐缓, 宋玉江. 球形分枝结构 Pt 纳米催化剂的合成、纯化及电催化性能[J]. 催化学报, 2012,33(9): 1601-1607
- [2] 张亚平, 汪小蕾, 沈凯, 徐海涛, 孙克勤, 周长城.  $\text{WO}_3$  改性方法对  $\text{MnO}_x/\text{TiO}_2$  催化剂低温催化  $\text{NH}_3$  还原  $\text{NO}$  特性的影响[J]. 催化学报, 2012,33(9): 1523-1531
- [3] 张一波, 王德强, 王静, 陈去非, 张震东, 潘喜强, 苗珍珍, 张彬, 武志坚, 杨向光.  $\text{BiMnO}_3$  钙钛石上低温  $\text{NH}_3$  选择性催化还原  $\text{NO}$ [J]. 催化学报, 2012,33(9): 1448-1454
- [4] 高旭峰, 谌春林, 任士远, 张建, 苏党生. 氧化铈的结构对其热稳定性及催化丙烷氧化脱氢反应性能的影响[J]. 催化学报, 2012,33(7): 1069-1074
- [5] 张晓静, 李华举, 李勇, 申文杰. Sr 取代  $\text{LaFeO}_3$  钙钛矿的结构性质和催化性能[J]. 催化学报, 2012,33(7): 1109-1114
- [6] 唐富顺, 庄柯, 杨芳, 杨利利, 许波连, 邱金恒, 范以宁. 负载型  $\text{V}_2\text{O}_5/\text{TiO}_2$  催化剂表面分散状态和性质对氨选择性催化还原  $\text{NO}$  性能的影响[J]. 催化学报, 2012,33(6): 933-940
- [7] 方瑞梅, 何胜楠, 崔亚娟, 史忠华, 龚茂初, 陈耀强.  $(\text{CeO}_2\text{-ZrO}_2\text{-Al}_2\text{O}_3)\text{-}(\text{La}_2\text{O}_3\text{-Al}_2\text{O}_3)$  复合氧化物负载的 Pd 密偶催化剂: 载体焙烧温度的影响[J]. 催化学报, 2012,33(6): 1014-1019
- [8] 于琴琴, 刘彤, 王卉, 肖丽萍, 陈敏, 蒋晓原, 郑小明. 低温等离子体协助  $\text{B}_2\text{O}_3/\text{Y-Al}_2\text{O}_3$  选择催化还原  $\text{NO}$ [J]. 催化学报, 2012,33(5): 783-789
- [9] 郭荷芹, 李德宝, 陈从标, 范志宏, 孙子罕.  $\text{V}_2\text{O}_5/\text{CeO}_2$  催化剂上甲醇氧化一步法合成二甲氧基甲烷[J]. 催化学报, 2012,33(5): 813-818
- [10] 刘文芳, 侯本象, 侯延慧, 赵之平. 中空纤维膜固定化甲酸脱氢酶催化  $\text{CO}_2$  合成甲酸[J]. 催化学报, 2012,33(4): 730-735
- [11] 倪晔, 张蓓花, 孙志浩. 采用通透性处理的安大略假丝酵母全细胞高效合成 (R)-2-氯-1-(3-氯苯基)乙醇[J]. 催化学报, 2012,33(4): 681-687
- [12] 党高飞, 石艳, 付志峰, 杨万泰. 磁性  $\text{Fe}_3\text{O}_4@\text{PS}@\text{PAMAM-Ag}$  复合催化粒子的制备及其可再生催化性能[J]. 催化学报, 2012,33(4): 651-658
- [13] 张泽凯, 俞河, 廖冰冰, 黄海凤, 陈银飞. 铁前驱体对  $\text{Fe}/\beta$  催化  $\text{NH}_3\text{-SCR}$  反应性能的影响[J]. 催化学报, 2012,33(3): 576-580
- [14] 石晓燕, 刘福东, 单文坡, 贺泓. 水热老化对不同方法制备的  $\text{Fe-ZSM-5}$  用于  $\text{NH}_3$  选择性催化还原  $\text{NO}_x$  的影响[J]. 催化学报, 2012,33(3): 454-464
- [15] 闫朝阳, 兰丽, 陈山虎, 赵明, 龚茂初, 陈耀强\*. 高性能  $\text{Ce}_{0.5}\text{Zr}_{0.5}\text{O}_2$  稀土储氧材料的制备及其负载的单 Pd 三效催化剂[J]. 催化学报, 2012,33(2): 336-341